

УТОЧНЕННОЕ МОДЕЛИРОВАНИЕ СУХОГО ТРЕНИЯ В ПАКЕТЕ „MATLAB / SIMULINK”

Горелов П. В., Мотченко А. И., Яблонь В.П.

Донбасский государственный технический университет

altar@bk.ru

Введение. С развитием компьютерной техники в последние годы моделирование при помощи ЭВМ становится всё более важным и доступным элементом при проведении исследований в области электропривода (ЭП). Поскольку, моделирование с использованием ЭВМ осуществляется дискретно с ненулевым шагом интегрирования, то осуществить моделирование характеристики сухого трения достаточно нелегко, так как определить точный момент времени, в который относительная скорость v проходит через нуль, достаточно сложно на практике. Создание моделей сухого трения без специальных средств точного определения момента перехода через разрыв характеристики приводит к тому, что данные модели в области нулевой скорости становятся неустойчивыми. Модель в этой ситуации пребывает в квазистационарном режиме «качания» скорости относительно нулевого значения в пределах шага интегрирования. При относительно большом постоянном шаге интегрирования колебания скорости становятся заметными. Если установленная точность моделирования высока, а шаг интегрирования задан переменный, то модель как бы «застыгает» в процессе интегрирования, данное явление обусловлено «бесконечным» дроблением шага интегрирования. Однако, существуют средства, с помощью которых в среде Matlab/SIMULINK возможно избежать выше указанных явлений.

Анализ разработок и исследований показывает, что, непосредственно, вопросу моделирования характеристик сухого трения в различных системах ЭП особого внимание не уделялось. В практике моделирования исследователи, как правило, обходились стандартным блоком, входящим в состав пакета SIMULINK.

Задача исследования. Создать структуру, которая позволяет с высокой точностью реализовать характеристики сухого трения в ЭП и продемонстрировать на практике принципы ее функционирования.

Материалы исследования. Как известно, сила (момент) сухого трения при движении трущихся тел одновременно относительно другого не зависит от скорости этого движения и всегда направлена встречно движению. Указанные свойства довольно хорошо описываются математически с использованием сигнум-функции:

$$F_{CT} = -F_{TD} \cdot \operatorname{sign}(v), \text{ при } v \neq 0, \quad (1)$$

$$M_{CT} = -M_{TD} \cdot \operatorname{sign}(\omega), \text{ при } \omega \neq 0,$$

где F_{TD} , M_{TD} - некоторые положительные величины, равные соответственно величине силы и момента сухого трения в движении, а v , ω - соответственно скорость относительного поступательного и вращательного движений.

Однако известно, что если трущиеся тела неподвижны друг относительно друга, то приложение внешней движущей силы F_{DB} (движущего момента M_{DB}) к одному из них не вызовет относительного движения тел до тех пор, пока эта движущая сила (момент) не превысит по величине так называемую «силу срыва» F_{CP} («момент срыва» M_{CP}). В этом случае сила (момент) сухого трения уже определяется не величиной и направлением скорости, а величиной приложенной движущей силы, принимая такое значение и направление, что полностью компенсируется действие этой внешней силы (момента):

$$F_{DB} + F_{CT} = 0, \quad \text{если } v = 0 \text{ и } |F_{DB}| \leq F_{CP}, \quad (2)$$

$$M_{DB} + M_{CT} = 0, \quad \text{если } \omega = 0 \text{ и } |M_{DB}| \leq M_{CP}.$$

На рисунке 1 представлены механические характеристики сил (моментов) сухого трения, создаваемые, например, механизмами горизонтального перемещения материалов, механизмами резания и т.п. В общем случае механическая характеристика сил (моментов) сухого трения может иметь несимметричный относительно вертикальной оси характер, что характерно, например, для механизма главного движения металлорежущего станка.

Сила (момент) вязкого внешнего трения возникают в случае движения системы в вязкой среде (газы и жидкости) и в общем случае может находиться в сложной зависимости от скорости движения:

$$F_{BH} = \alpha \cdot v^n,$$

$$M_{BH} = \beta \cdot \omega^n, n > 0.$$

(3)

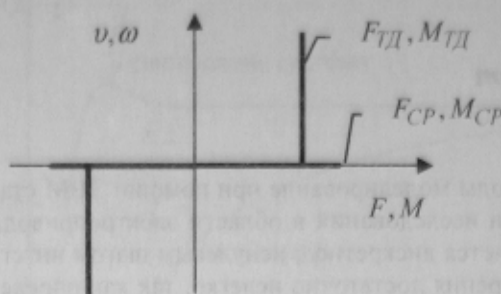


Рисунок 1 – Механическая характеристика сил и моментов сухого трения

В состав библиотеки Discontinuities пакета SIMULINK входит блок Coulomb & Viscous Friction (Сухое и вязкое трение), пиктограмма которого приведена на рисунке 2. Данный блок является «маскированным», т. е. представляет собой структуру из нескольких блоков. Его внутреннее строение также представлено на рисунке 2.

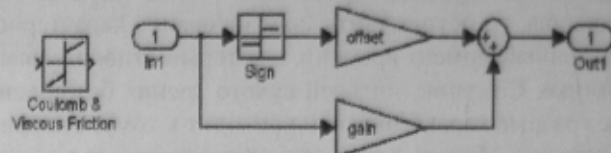


Рисунок 2 – Пиктограмма блока Coulomb & Viscous Friction и его внутренняя организация

Верхняя ветвь маскированной модели блока Coulomb & Viscous Friction служит для моделирования сил (моментов) сухого трения и соответствует уравнениям (1), а нижняя для моделирования сил (моментов) вязкого внешнего трения и соответствует уравнениям (3) при линейном характере зависимостей, т.е. при \$n=1\$. Коэффициент усиления блока «offset» задается равным силе (моменту) трения движения (\$F_{TD}\$ или \$M_{TD}\$), а коэффициент блока «gain» задает наклон характеристики вязкого трения (\$\alpha\$ или \$\beta\$).

Как видно из рисунка 2, блок Coulomb & Viscous Friction представляет явление сухого трения в упрощенном виде, а именно:

- «сила срыва» \$F_{CP}\$ или «момент срыва» \$M_{CP}\$ принимаются равными силе \$F_{TD}\$ или моменту \$M_{TD}\$ трения движения, т.е. принимается, что \$F_{CP} = F_{TD}\$, \$M_{CP} = M_{TD}\$;
- не учитывается зависимость силы (момента) сухого трения при нулевой скорости от движущей силы или момента, т.е. не учитываются уравнения (2).

Если первое упрощение является общепринятым и существенно не влияет на интегрирование уравнений динамики механической системы, то второе ограничение вызывает ряд сложностей в процессе моделирования. С учетом уравнений движения

$$\begin{aligned} \frac{dv}{dt} &= \frac{1}{m} \cdot (F_{DB} + F_{CT}(v)), \\ \frac{d\omega}{dt} &= \frac{1}{J} \cdot (M_{DB} + M_{CT}(v)) \end{aligned} \quad (4)$$

и используя блок Coulomb & Viscous Friction можно получить модель динамики механической системы, представленную на рисунке 3.

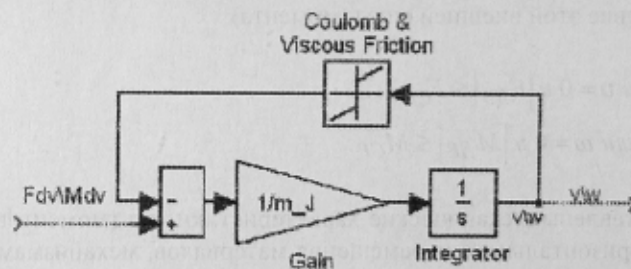


Рисунок 3 – Модель динамики механической системы с использованием блока Coulomb & Viscous Friction

Такая модель, например, используется в маскированном блоке машины постоянного тока (DC Machine), входящей в библиотеку Machines пакета SimPowerSystem ToolBox. Можно легко убедится, что при ненулевом значении момента или силы сухого трения, моделирование можно провести только с постоянным шагом интег-

рирования. При выборе переменного шага интегрирования на участках где движущая сила оказывается меньше силы срыва ($F_{TD} < F_{CP}$), пересечение скоростью нулевого значения приводит как бы к «застыванию» процесса моделирования, что обусловлено «бесконечным» дроблением шага интегрирования. При постоянном шаге моделирование осуществить удается, хотя и с существенными погрешностями. Модель в этой ситуации пребывает в квазистационарном режиме «качания» скорости относительно нулевого значения на интервале шага интегрирования, что обусловлено «скакками» силы сухого трения между двумя крайними значениями ($-F_{CP}$ и F_{CP}).

Уточненная модель динамики механической системы, работающей на преодоление реактивных сил сопротивления, представлена на рисунке 4.

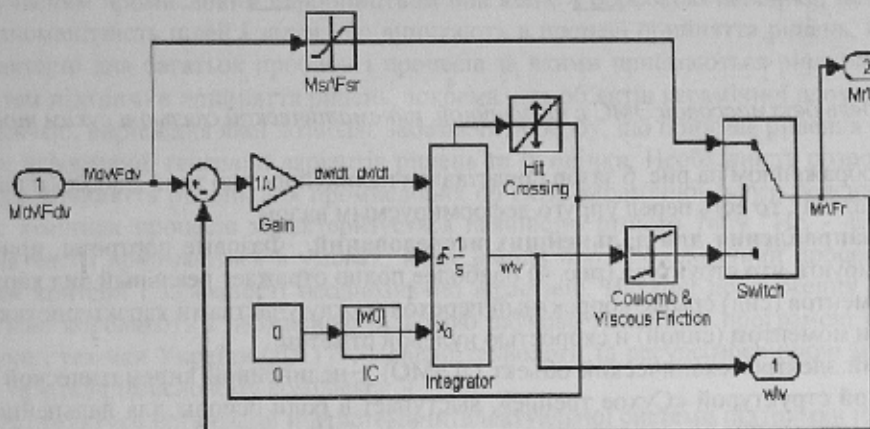


Рисунок 4 – Модель движения механической системы, находящейся под воздействием реактивных сил сопротивления

Схема представленная на рисунке 4 осуществляет однократное интегрирование уравнения (4). На вход схемы подается текущее значение движущего момента (силы) Mdv/Fdv , а на выходе ω/v формируются значение скорость, а на выходе M_r/F_r реактивный момент (сила) сопротивления.

Анализ полученных результатов. Фазовые портреты полученные при реакции синтезированной структуры на пилообразное воздействие представлены на рис. 5.

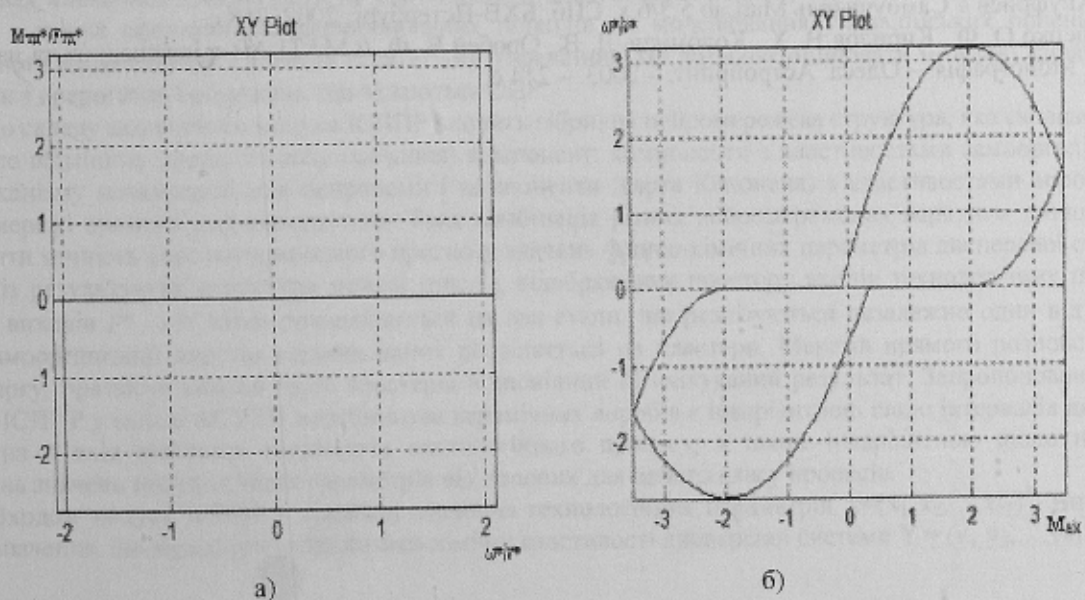


Рисунок 5 – Фазовые портреты исследуемой системы:
а) зависимость силы (момента) от скорости;
б) зависимость скорости от входного момента

При введении синтезированной структуры в состав двухмассовой электромеханической системы с нелинейной кинематической связью (упруго деформируемый вал и зазор в соединительной муфте) объект управления принимает вид, приведенный на рис. 6.

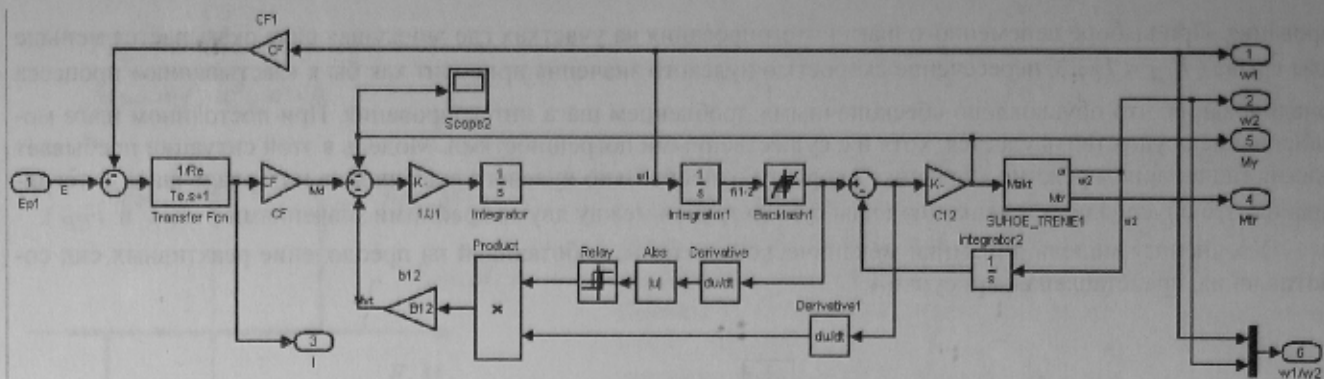


Рисунок 6 – Модель двухмассовой ЭМС с нелинейной кинематической связью и сухим трением в нагрузке

В случае, изображенном на рис. 6 зазор представлен нелинейностью типа «люфт» и располагается вблизи первой массы (двигателя), то есть перед упруго деформируемым валом

Выводы и направления для дальнейших исследований. Фазовые портреты, приведенные на рис. 5 наглядно демонстрируют, что структура (рис. 4) наиболее полно отражает реальный вид характеристики сухого трения (участки моментов (сил) срыва, корректный переход между участками характеристики) во всех квадрантах при пересечении моментом (силой) и скоростью нулевой отметки.

Двухмассовый электромеханический объект (ДЭМО) с нелинейной кинематической связью, дополненный синтезированной структурой «Сухое трение», выступает в роли основы для дальнейших исследований и синтеза алгоритмов управления сложными электромеханическими системами с нелинейной кинематикой и плавной нагрузкой.

ЛИТЕРАТУРА

1. В. Дьяконов // Matlab 6: учебный курс. СПб.: Питер, 2001. 592 с.
2. В. Кондрашов, С. Королев // Matlab как система программирования научно-технических расчетов. М.: Мир, Институт стратегической стабильности Минатома РФ, 2002. 367 с.
3. А. Данилов // Компьютерный практикум по курсу "Теория управления". Simulink - моделирование в среде Matlab. М.: МГУИЭ, 2002. 687 с.
4. В. Дьяконов // Simulink 4: Специальный справочник. СПб.: Питер, 2001. 398 с.
5. Н. Мартынов // Введение в MatLab 6. М.:Кудиц-образ, 2002. 283 с.
6. И. Ануфриев // Самоучитель MatLab 5.3/6.x. СПб.:БХВ-Петербург, 2002. 768 с.
7. Дащенко О. Ф., Кирилов В. Х., Коломієць Л. В., Оробей В. Ф. // MATLAB в інженерних та наукових розрахунках: Монографія. – Одеса: Астропrint. – 2003. – 214 с.